Révision: 10862

Date: 15/04/2013 Page: 1/8

Clé: V3.02.116

Titre : SSLP116 – Plaque carrée en flexion – gradient de t[...]

Responsable : Thomas DE SOZA

SSLP116 – Plaque carrée en flexion – gradient de température constant

Résumé:

L'objectif de ce test est de valider le calcul des déplacements, des moments et des contraintes dans une plaque carrée, simplement supportée, en flexion soumise a un gradient de température constant.

Modélisations:

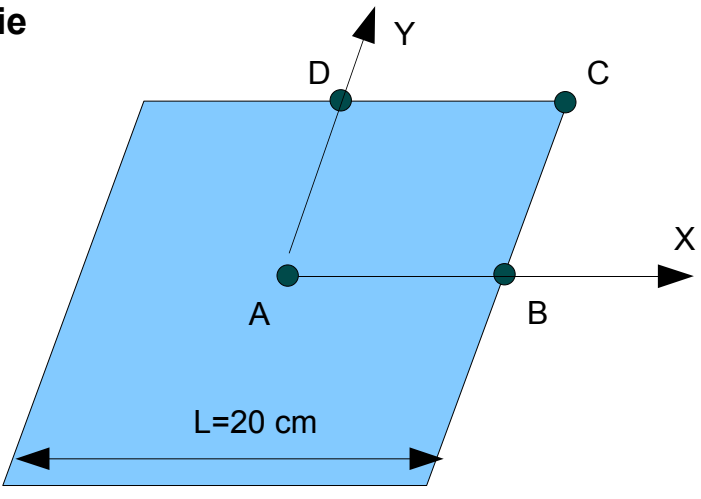
• Modélisation A : DKT avec des mailles TRIA3

Modélisation B: DKT avec des mailles QUAD4

Date: 15/04/2013 Page: 2/8 Responsable: Thomas DE SOZA Clé: V3.02.116 Révision: 10862

Problème de référence

1.1 Géométrie



Epaisseur = 0.25cm.

1.2 Propriétés du matériau

Le matériau est élastique isotrope dont les propriétés sont :

- $E = 30. \times 10^6 \, N/cm^2$
- v=0.3
- $\alpha = 6.5 \times 10^{-6} / {^{\circ}C}$

Conditions aux limites et chargements 1.3

Conditions aux limites:

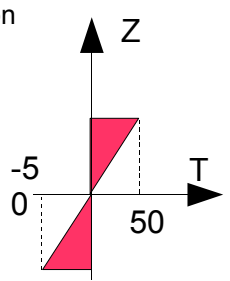
Sur le bord AB : DY = DRX = 0

Sur le bord AD: DX = DRY = 0

Sur les bord BC et CD: DZ=0

Chargement

chargement Le varie de la façon



appliqué est un chargement de température qui suivante:

Conditions initiales 1.4

Néant

Date: 15/04/2013 Page: 3/8 Responsable: Thomas DE SOZA Clé: V3.02.116 Révision: 10862

Solution de référence

2.1 Méthode de calcul

La solution de référence est une solution numérique [1].

2.2 Grandeurs et résultats de référence

Déplacement suivant l'axe Z le long de AB

X(cm)	DZ(cm)
0.0	0.1033
2.0	0.0992
4.0	0.0883
6.0	0.0692
8.0	0.0400
10.0	0.

Moment $\,M_{\,X\!X}\,$ le long de $\,AB$

X(cm)	MXX(N)
1.0	-50.0
3.0	-45.6
5.0	-36.4
7.0	-23.2
9.0	-8.0

2.3 Incertitudes sur la solution

Solution numérique

2.4 Références bibliographiques

[1] M.H. SADR-LAHIDJANI: "Modélisation et analyse des plaques et coques minces élastiques soumises a des champs de température", Thèse de Doctorat UTC, 1984.

Date: 15/04/2013 Page: 4/8 Responsable: Thomas DE SOZA Clé: V3.02.116 Révision: 10862

Modélisation A 3

3.1 Caractéristiques de la modélisation

On utilise une modélisation DKT avec 3 couches dans l'épaisseur.

Caractéristiques du maillage 3.2

Le maillage contient 5000 éléments de type TRIA3.

3.3 Grandeurs testées et résultats

On teste le déplacement suivant l'axe Z et le moment MXX le long de AB .

Ident	tification	Towns do not form and	Malassa da selli sassa a	Tolérance
DEPL	X(cm)	Type de référence	Valeur de référence	%
	0.0	'SOURCE_EXTERNE'	0.1033	4.0
2.0		'SOURCE_EXTERNE'	0.0992	3.5
DZ	4.0	'SOURCE_EXTERNE'	0.0883	3.
	6.0	'SOURCE_EXTERNE'	0.0692	3.
	8.0	'SOURCE_EXTERNE'	0.0400	2.

Identification		Towns do wiff was a s	Valous de séféres es	Tolérance	
EFGE_NOEU	X(cm)	Type de référence	Valeur de référence	%	
	1.0	'SOURCE_EXTERNE'	-50.0	0.5	
	3.0	'SOURCE_EXTERNE'	-45.6	0.2	
MXX	5.0	'SOURCE_EXTERNE'	-36.4	1.0	
7.0		'SOURCE_EXTERNE'	-23.2	3.0	
	9.0	'SOURCE_EXTERNE'	-8.0	0.5	

Date: 15/04/2013 Page: 5/8 Responsable: Thomas DE SOZA Clé: V3.02.116 Révision : 10862

On teste les contraintes sur la peau inférieure, moyenne et supérieure dans 2 couches.

Couche n°1: -0.125cm< Z < -0.0417cm

Point / Maille	Couche	Grandeur	Type de référence	Valeur de référence	Tolérance
		SIXX	'NON_DEFINI'	4880.375	10 ⁻⁴ %
	INF	SIYY	'NON_DEFINI'	4880.125	10 ⁻⁴ %
		SIXY	'NON_DEFINI'	-0.125	10^{-6}
	MOY SUP	SIXX	'NON_DEFINI'	3225.583	10 ⁻⁴ %
A(M5200)		SIYY	'NON_DEFINI'	3253.417	10 ⁻⁴ %
		SIXY	'NON_DEFINI'	-0.083	10^{-6}
		SIXX	'NON_DEFINI'	1626.712	10 ⁻⁴ %
		SIYY	'NON_DEFINI'	1626.708	10 ⁻⁴ %
		SIXY	'NON_DEFINI'	-0.042	10^{-6}

Couche n°3: 0.0417 cm < Z < 0.125 cm

Point / Maille	Couche	Grandeur	Type de référence	Valeur de référence	Tolérance
	INF	SIXX	'NON_DEFINI'	-1626.792	10 ⁻⁴ %
		SIYY	'NON_DEFINI'	-1626.708	10 ⁻⁴ %
		SIXY	'NON_DEFINI'	0.042	10^{-6}
A(M5200)	МОҮ	SIXX	'NON_DEFINI'	-3252.583	10 ⁻⁴ %
		SIYY	'NON_DEFINI'	-3252.416	10 ⁻⁴ %
		SIXY	'NON_DEFINI'	0.083	10^{-6}
		SIXX	'NON_DEFINI'	-4880.375	10 ⁻⁴ %
	SUP	SIYY	'NON_DEFINI'	-4880.125	10 ⁻⁴ %
		SIXY	'NON_DEFINI'	0.125	10^{-6}

Date: 15/04/2013 Page: 6/8 Responsable: Thomas DE SOZA Clé: V3.02.116 Révision: 10862

Modélisation B 4

4.1 Caractéristiques de la modélisation

On utilise une modélisation DKT avec 7 couches dans l'épaisseur.

Caractéristiques du maillage 4.2

Le maillage contient 2500 éléments de type QUAD4.

4.3 Grandeurs testées et résultats

On teste le déplacement suivant l'axe Z et le moment MXX le long de AB .

Ident	tification	Towns do not form and	Malassa da selli sassa a	-
DEPL	X(cm)	Type de référence	Valeur de référence	Tolérance
	0.0	'SOURCE_EXTERNE'	0.1033	4.0
2.0	'SOURCE_EXTERNE'	0.0992	3.5	
DZ	4.0	'SOURCE_EXTERNE'	0.0883	3.0
	6.0	'SOURCE_EXTERNE'	0.0692	3.0
-	8.0	'SOURCE_EXTERNE'	0.0400	2.0

Identification		T d	Malassa da selli sana a	T-1/
EFGE_NOEU	X(cm)	Type de référence	Valeur de référence	Tolérance
	1.0	'SOURCE_EXTERNE'	-50.0	1.0
MXX 3.0 5.0		'SOURCE_EXTERNE'	-45.6	0.75
		'SOURCE_EXTERNE'	-36.4	2.0
	7.0	'SOURCE_EXTERNE'	-23.2	5.0
	9.0	'SOURCE_EXTERNE'	-8.0	6.0

Date: 15/04/2013 Page: 7/8 Responsable: Thomas DE SOZA Clé: V3.02.116 Révision: 10862

On teste les contraintes sur la peau inférieure, moyenne et supérieure dans 2 couches.

Couche n°1: -0.125cm< Z < -0.089cm

Point / Maille	Couche	Grandeur	Type de référence	Valeur de référence	Tolérance
		SIXX	'NON_DEFINI'	4875.116	10 ⁻⁴ %
	INF	SIYY	'NON_DEFINI'	4875.116	10 ⁻⁴ %
		SIXY	'NON_DEFINI'	7.47×10^{-9}	10^{-6}
		SIXX	'NON_DEFINI'	4178.671	10 ⁻⁴ %
A(M2700)	MOY	SIYY	'NON_DEFINI'	4178.671	10 ⁻⁴ %
		SIXY	'NON_DEFINI'	6.4×10^{-9}	10^{-6}
		SIXX	'NON_DEFINI'	3482.225	10 ⁻⁴ %
	SUP	SIYY	'NON_DEFINI'	3482.225	10 ⁻⁴ %
		SIXY	'NON_DEFINI'	5.3×10 ⁻⁹	10^{-6}

Couche n°7: 0.089 cm < Z < 0.125 cm

Point / Maille	Couche	Grandeur	Type de référence	Valeur de référence	Tolérance
		SIXX	'NON_DEFINI'	-3482.225	10 ⁻⁴ %
	INF	SIYY	'NON_DEFINI'	-3482.225	10 ⁻⁴ %
		SIXY	'NON_DEFINI'	5.3×10^{-9}	10 ⁻⁶
A(M2700)	MOY SUP	SIXX	'NON_DEFINI'	-4178.670	10 ⁻⁴ %
		SIYY	'NON_DEFINI'	-4178.670	10 ⁻⁴ %
		SIXY	'NON_DEFINI'	-6.4×10^{-9}	10^{-6}
		SIXX	'NON_DEFINI'	-4875.116	10 ⁻⁴ %
		SIYY	'NON_DEFINI'	-4875.116	10 ⁻⁴ %
		SIXY	'NON_DEFINI'	7.5×10^{-9}	10^{-6}



Code Aster

Titre : SSLP116 – Plaque carrée en flexion – gradient de t[...]

Date: 15/04/2013 Page: 8/8 Responsable : Thomas DE SOZA Clé: V3.02.116 Révision: 10862

5 Synthèse des résultats

Les résultats obtenus sont satisfaisants.